

и ПВК и для ее обработки, которое включает следующие стадии: 1) ввод массивов данных; 2) устройство ЭЦВМ; 3) визуализация — визуализация памяти. В экспериментальном материале от задачи исследования в ЭЦВМ.

filmchuk

S OF PHYSIOLOGICAL
LEKTRONIKA D3-28»

ed for input of time parameters of
a D3-28». Data input is possible
mediate recording by the magnetic
tapes of R-R-intervals of the human

их средств нейрофизиологических
импедансометрии

Поступила 03.10.84

импедансометрии

изол. журн., 1986, т. 32, № 4

МЕТОДИКИ

УДК 615.47:615.456

С. Е. Соколов

ПРИМЕНЕНИЕ ИМПЕДАНСОМЕТРИИ ДЛЯ ИССЛЕДОВАНИЯ ТКАНЕВОГО КЛИРЕНСА ГАЗОВ

Изучение закономерностей динамики газов в тканях имеет важное теоретическое и практическое значение [1, 3]. Ценную информацию в экспериментальной и клинической практике дают параметры тканевого клиренса газов, введенных в биологическую ткань [5, 6]. Используют два метода исследования тканевого клиренса газов. Первый — метод «газовых карманов». Он заключается в подкожном введении исследуемого газа или смеси газов с последующим отбором и анализом состава порций газа из образовавшегося депо [5]. Недостаток метода — необходимость введения большого объема газа (20—40 мл), длительность эксперимента (от нескольких часов до нескольких суток). Метод не позволяет изучать динамику клиренса [1]. Второй метод основан на регистрации изменения радиоактивности исследуемого участка ткани по мере клиренса, введенного радиоактивного изотопа газа (например, Хе-133) [6]. Метод может быть использован только при соблюдении специальных условий. Круг исследований ограничен радиоактивными изотопами.

Для устранения указанных недостатков при изучении тканевого клиренса газов мы измеряли электрический импеданс исследуемого участка ткани при введении в него газа. На рис. 1 представлена схема установки, реализующей предложенный метод. Установку собирают следующим образом. Градуированный капилляр 1 с помощью штатива 3 устанавливают на высоту, необходимую для биологической ткани и резервуара с жидкостью 2. Затем капилляр присоединяют к баллону с газом (на рисунке не показан). Для работы установки открывают вентиль баллона и продувают капилляр под давлением, заполняя его газом. Отключают баллон и присоединяют капилляр 1 к резервуару с жидкостью 2. Вводят электроды 4 и 5 в исследуемый участок биологической ткани. В установке использован биполярный метод измерения биомпеданса, принцип которого в том, что измерения проводят между двумя электродами разной площади. Площадь рабочего электрода 4 во много раз меньше (10^2) площади вспомогательного электрода 5. В этом случае измерительное поле концентрируется вблизи малой рабочей площади и измерение электрического импеданса происходит в ограниченном участке ткани, прилегающем к рабочему электроду [2]. Применение биполярного метода значительно повышает чувствительность установки. Для обеспечения малой измерительной площади рабочий электрод 4, снабженный внутренним каналом для введения газа, покрыт весь, кроме среза, диэлектриком. В качестве покрытия электрода на него методом электроосаждения нанесена эмаль марки ВЭП-2100 [4].

Выбор частоты и плотности измерительного тока обусловлен необходимостью учета влияния приэлектродных процессов и шунтирующей межэлектродной емкости на значение импеданса. По экспериментальным данным модельных исследований плотность измерительного тока у рабочего электрода составляет $10,0 \text{ мкА}/\text{мм}^2$, а частота — 5 кГц.

После введения электродов в ткань межэлектродный импеданс стабилизируется в течение 3—15 мин. После установления постоянного значения импеданса открывают кран 7 и под заданным давлением жид-

костного столба вводят необходимое количество газа в ткань. Введение газа контролируют по перемещению границы жидкостного столба между делениями в капилляре 1. Регистрируют изменение импеданса, по которому судят о динамике процесса клиренса.

Вероятно, что для меньшего воздействия на ткань желательно использовать минимальное давление введения газа. Однако, как показали эксперименты, скорость введения газов в ткань зависит от прилагаемого давления нелинейно. Причем разброс значений скорости введения

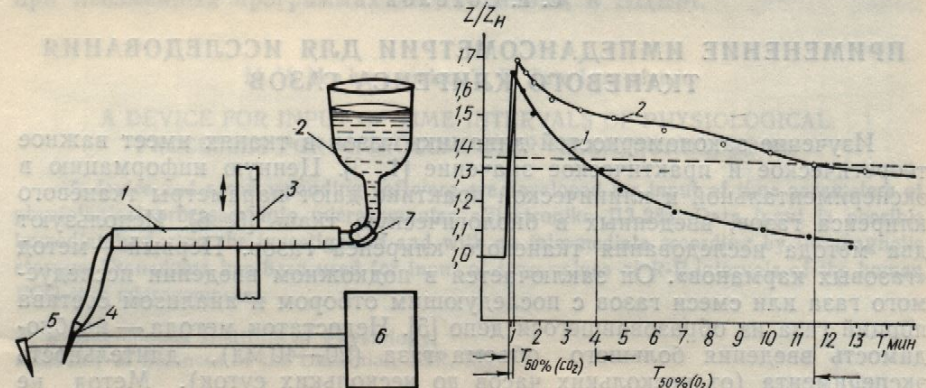


Рис. 1. Схема установки для исследования тканевого клиренса газов по измерению электрического импеданса ткани:

1 — градуированный капилляр; 2 — резервуар с жидкостью; 3 — штатив; 4 и 5 — металлические электроды; 6 — измеритель электрического импеданса; 7 — кран.

Рис. 2. Характерные кривые тканевого клиренса углекислого газа (1) и кислорода (2) в мышечной ткани белой крысы (стрелкой отмечен момент введения газа в ткань): T — текущее время; Z_n — начальное значение импеданса; Z — текущее значение импеданса; $T_{50\%}$ — время полуклиренса

для разных газов и разных участков ткани увеличивается с уменьшением давления введения. Поэтому с целью создания повторяемых условий экспериментов значение высоты жидкостного столба, т. е. значение давления введения, должно составлять 35 см.

С помощью описанной установки изучали тканевой клиренс углекислого газа, кислорода и аргона в следующих условиях: нормальных физиологических, при прекращении кровотока наложением жгута и омертвления ткани (каждая серия — 10 экспериментов). Эксперименты проведены на мышце бедра белых крыс-самцов массой 180—220 г. Животных анестезировали гексаналом. Объем вводимого газа составлял 0,2 мл. Критерием скорости процесса выбрано время полуклиренса.

В нормальной ткани значения полуклиренса углекислого газа находились в диапазоне 0,5—5 мин (среднее значение — 2,5 мин), кислорода — 7—23 мин (среднее значение — 9,3 мин), аргона — 8—27 мин (среднее значение 2—12 мин). Полученные результаты (достоверно более быстрый по сравнению с кислородом и аргоном клиренс углекислого газа) хорошо согласуются с результатами, приведенными в литературе [5, 7].

В ткани, находящейся в условиях прекращения кровотока наложением жгута и омертвления, тканевой клиренс аргона полностью прекращался. Это соответствует данным по клиренсу радиоактивных изотопов инертных газов [6], а также данным, полученным в экспериментах методом «газовых карманов» [7]. Клиренс углекислого газа и кислорода в большинстве экспериментов в условиях наложения жгута и омертвления ткани также прекращается. И лишь в двух случаях для кислорода (и однажды для углекислого газа) удалось зафиксировать незначительное рассасывание. Время полуклиренса при этом для кислорода составило 36 и 48 мин, для углекислого газа 36 мин. Полученные результаты опровергают мнение [7] о том, что тканевой клиренс

кислорода и углекислого газа и кислорода. Полученные нами механизмы тканевого кровотока.

На рис. 2 представлена кривая тканевого клиренса углекислого газа и кислорода.

Предлагаемый метод измерения импедансов газа и биоткани газом приводит к динамике тканевого кровотока. Таким образом, использование радиоактивных газов и кислорода для исследования тканевого кровотока и тканевого клиренса газов и кислорода в тканях животных и человека.

APPLICATION

Parameters of tissue clearance of gases in tissues in experiments of the electrical impedance method (for gas into it) is suggested to be investigated. A scheme of the apparatus for measurement of the curves of the tissue clearance of oxygen and carbon dioxide in muscle tissue of white rat.

Research Amalgamation on Research Apparatus «REMA», Ministry of Health of USSR.

1. Березовский В. А. Направления научных исследований в области изучения тканевого кровотока и тканевого клиренса газов и кислорода. Наук. думка, 1975.—280 с.
2. Гречин В. Б., Кропотова Е. А. Тканевое кровотечение и омертвление ткани человека.—Л.: Наука, 1973.
3. Коваленко Е. А. Вопросы определения кислорода в тканях. Докторская диссертация. 1973.
4. Мацкевич Г. В., Соколова Е. А. Изменение импеданса ткани при введении газов в брюшную полость. Науч.-техн. журн. по радиоактивному использованию изотопов. № 1. 1975.
5. Campbell J. A. Changes in tissue impedance during entry of oxygen and carbon dioxide into abdominal cavity. // Acta physiol. Scand. 1962. — Vol. 55. — P. 153.
6. Larsen O. A., Lassen N. A. Tissue clearance of radioactive xenon // Acta physiol. Scand. 1962. — Vol. 55. — P. 153.
7. Van Liew H. D. Oxygen and carbon dioxide clearance in rat muscle tissue. // Amer. J. Physiol. — 1962. — Vol. 203. — P. 103.

Науч.-произв. обн. по радиоактивному использованию изотопов в медицинской практике. № 1. 1975.

Науч.-техн. журн. по радиоактивному использованию изотопов в медицинской практике. № 2. 1975.

Науч.-техн. журн. по радиоактивному использованию изотопов в медицинской практике. № 3. 1975.

Науч.-техн. журн. по радиоактивному использованию изотопов в медицинской практике. № 4. 1975.

Науч.-техн. журн. по радиоактивному использованию изотопов в медицинской практике. № 5. 1975.

Науч.-техн. журн. по радиоактивному использованию изотопов в медицинской практике. № 6. 1975.

Науч.-техн. журн. по радиоактивному использованию изотопов в медицинской практике. № 7. 1975.

Науч.-техн. журн. по радиоактивному использованию изотопов в медицинской практике. № 8. 1975.

Науч.-техн. журн. по радиоактивному использованию изотопов в медицинской практике. № 9. 1975.

Науч.-техн. журн. по радиоактивному использованию изотопов в медицинской практике. № 10. 1975.

Науч.-техн. журн. по радиоактивному использованию изотопов в медицинской практике. № 11. 1975.

Науч.-техн. журн. по радиоактивному использованию изотопов в медицинской практике. № 12. 1975.

Науч.-техн. журн. по радиоактивному использованию изотопов в медицинской практике. № 13. 1975.

Науч.-техн. журн. по радиоактивному использованию изотопов в медицинской практике. № 14. 1975.

Науч.-техн. журн. по радиоактивному использованию изотопов в медицинской практике. № 15. 1975.

Науч.-техн. журн. по радиоактивному использованию изотопов в медицинской практике. № 16. 1975.

Науч.-техн. журн. по радиоактивному использованию изотопов в медицинской практике. № 17. 1975.

Науч.-техн. журн. по радиоактивному использованию изотопов в медицинской практике. № 18. 1975.

Науч.-техн. журн. по радиоактивному использованию изотопов в медицинской практике. № 19. 1975.

Науч.-техн. журн. по радиоактивному использованию изотопов в медицинской практике. № 20. 1975.

Науч.-техн. журн. по радиоактивному использованию изотопов в медицинской практике. № 21. 1975.

Науч.-техн. журн. по радиоактивному использованию изотопов в медицинской практике. № 22. 1975.

Науч.-техн. журн. по радиоактивному использованию изотопов в медицинской практике. № 23. 1975.

Науч.-техн. журн. по радиоактивному использованию изотопов в медицинской практике. № 24. 1975.

Науч.-техн. журн. по радиоактивному использованию изотопов в медицинской практике. № 25. 1975.

Науч.-техн. журн. по радиоактивному использованию изотопов в медицинской практике. № 26. 1975.

Науч.-техн. журн. по радиоактивному использованию изотопов в медицинской практике. № 27. 1975.

Науч.-техн. журн. по радиоактивному использованию изотопов в медицинской практике. № 28. 1975.

Науч.-техн. журн. по радиоактивному использованию изотопов в медицинской практике. № 29. 1975.

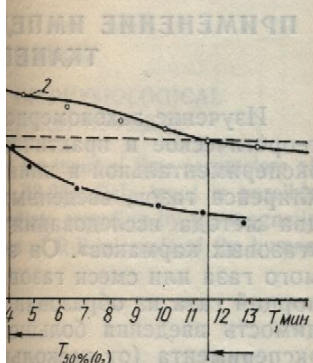
Науч.-техн. журн. по радиоактивному использованию изотопов в медицинской практике. № 30. 1975.

Науч.-техн. журн. по радиоактивному использованию изотопов в медицинской практике. № 31. 1975.

Науч.-техн. журн. по радиоактивному использованию изотопов в медицинской практике. № 32. 1975.

во газа в ткань. Введение жидкостного столба не изменяет импеданса, исчезает.

на ткань желательно исчезать. Однако, как показали наши эксперименты, зависимость зависит от прилагаемой скорости введения



клиренса газов по измерению времени введения газа в ткань:

— текущее значение импеданса; $T_{50\%}$ —

увеличивается с уменьшением повторяемых условий: нормальных и тканевых клиренсов углекислого газа (1) и кислорода (2) в

условиях: нормальных (приложении жгута и экспериментов). Эксперименты проводились массой 180—220 г. Животного газа составляло время полуклиренса.

клиренса углекислого газа нахождение — 2,5 мин), кислорода — 8—27 мин

результаты (достоверно более аргоном клиренс углекислого газа, приведенные в лите-

ниях кровотока наложением аргона полностью пре-ренес радиоактивных изотопов в экспериментах углекислого газа и кислорода наложения жгута и лишь в двух случаях для удалось зафиксировать клиренса при этом для кислорода газа 36 мин. Получено, что тканевой клиренс

кислорода и углекислого газа в отсутствие кровотока почти не изменяется. Полученные нами данные дают основание утверждать, что основной механизм тканевого клиренса исследованных газов — тканевой кровоток.

На рис. 2 представлены характерные кривые тканевого клиренса углекислого газа и кислорода.

Предлагаемый метод основан на разнице удельных электрических импедансов газа и биологической ткани, вследствие чего насыщение ткани газом приводит к резкому повышению ее электрического импеданса. Таким образом, применение импедансометрии позволяет изучать динамику тканевого клиренса практически любых газов, не требуя использования радиоактивных изотопов. Метод позволяет также сокращать время исследования и объема введенного газа. Это дает возможность расширить экспериментальное изучение тканевого клиренса газов при различных функциональных состояниях биологического объекта.

S. E. Sokolov

APPLICATION OF IMPEDOMETRY FOR INVESTIGATING TISSUE CLEARANCE OF GASES

Parameters of tissue clearance give valuable information to study regularities of the gas dynamics in tissues in experimental and clinical practice. Impedometry (measurement of the electrical impedance in the section of tissue under study during administration of gas into it) is suggested to be applied for eliminating defects in the existing methods of investigation. A scheme of the device which realizes the suggested method is given. Typical curves of the tissue clearance of carbon dioxide and oxygen are presented.

Research Amalgamation on Radioelectronic Medical Apparatus «REMA», Ministry of Medical Industry, Lvov

1. Березовский В. А. Напряжение кислорода в тканях животных и человека. — Киев: Наук. думка, 1975.—280 с.
2. Гречин В. Б., Кропотова Ю. Д. Медленные неэлектрические ритмы головного мозга человека. — Л.: Наука, 1979.—127 с.
3. Коваленко Е. А. Вопросы теории динамики газов в организме // Полярографическое определение кислорода в биологических тканях. — Киев: Наук. думка, 1974.—С. 120—123.
4. Мацкевич Г. В., Соколов С. Е., Тымкив А. Н. Покрытие игольчатых электродов для многократного использования // Новости мед. техники. — М., 1983.—С. 42—43.
5. Campbell J. A. Changes in the tensions of CO_2 and O_2 in gases injected under the skin and into abdominal cavity // J. Physiol. London. — 1924.—59, N 1.—P. 1—16.
6. Larsen O. A., Lassen N. A., Quoade F. Blood flow human adipose tissue determined with radioactive xenon // Acta physiol. scand.— 1966.—66.—P. 337—345.
7. Van Liew H. D. Oxygen and carbon dioxide permeability of subcutaneous pockets // Amer. J. Physiol.— 1962.—202, N 1.—P. 53—58.

Науч.-произв. об-ние по радиоэлектрон. мед. аппаратуре «РЕМА» ММП. Львов

Поступила 21.11.85